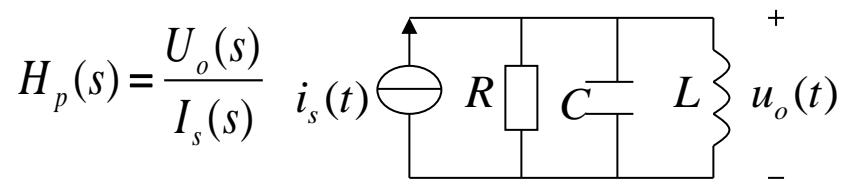
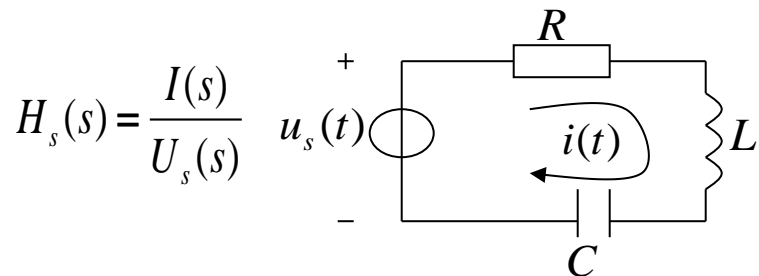


上节内容

- 4.9 二阶谐振系统的S平面分析
- 4.10 全通函数与最小相移函数的零、极点分布
- 4.11 线性系统的稳定性

含有电容、电感两类储能元件的二阶系统可以具有谐振特性，常可利用这一性能构成带通、带阻滤波器。



串、并联RLC回路的对偶性：系统函数中的L和C可互换。

以并联RLC回路为例作分析。先求系统函数

$$H_p(s) = \frac{U_o(s)}{I_s(s)} = \frac{R \frac{L}{C}}{R s L + \frac{R}{s C} + \frac{L}{C}} = \frac{R L s}{R L C s^2 + R + s L} = \frac{1}{C} \frac{s}{s^2 + \frac{s}{RC} + \frac{1}{LC}} = \frac{1}{C} \frac{s}{(s - p_1)(s - p_2)}$$

当 $R > \frac{1}{2} \sqrt{L/C}$ ，极点为共轭复根。

$$p_{1,2} = \frac{-\frac{1}{RC} \pm j\sqrt{\frac{4}{LC} - (\frac{1}{RC})^2}}{2} = -\frac{1}{2RC} \pm j\sqrt{\frac{1}{LC} - (\frac{1}{2RC})^2} = -\alpha \pm j\Omega_d$$

$$\Omega_0 = \frac{1}{\sqrt{LC}}$$

谐振频率

$$\alpha = \frac{1}{2RC}$$

衰减因子

$$\Omega_d = \sqrt{\Omega_0^2 - \alpha^2}$$

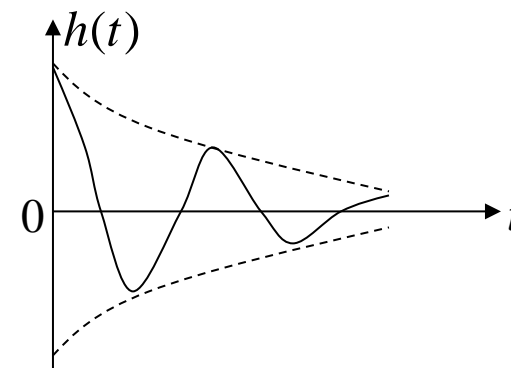
系统函数:

$$H_p(s) = \frac{1}{C} \frac{s}{(s-p_1)(s-p_2)} = \frac{1}{C} \frac{s}{(s+\alpha-j\Omega_d)(s+\alpha+j\Omega_d)} = \frac{1}{C} \frac{s}{(s+\alpha)^2 + \Omega_d^2}$$

$$= \frac{1}{C} \left[\frac{(s+\alpha)}{(s+\alpha)^2 + \Omega_d^2} - \frac{\alpha}{\Omega_d} \cdot \frac{\Omega_d}{(s+\alpha)^2 + \Omega_d^2} \right]$$

单位冲激响应:

$$h_p(t) = \frac{1}{C} e^{-\alpha t} (\cos \Omega_d t - \frac{\alpha}{\Omega_d} \sin \Omega_d t) u(t)$$



若保持 RLC 不变，即系统零极点的位置不变，零点矢量的相角始终等于 $\pi/2$ 。

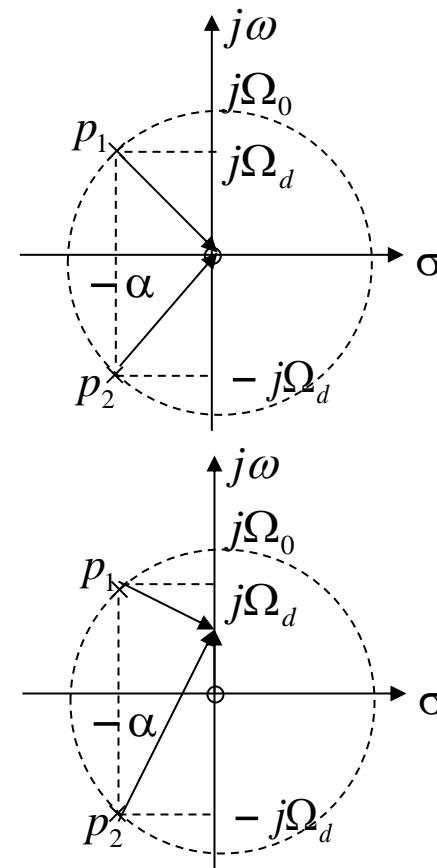
$$H_p(s) = \frac{1}{C} \frac{s}{(s - p_1)(s - p_2)}$$

a) 当 $\omega=0$ ，零点矢量的模等于0，因此幅频响应 $|H(\omega)|=0$ ；

相频响应因为两极点矢量的相角正负相等抵消，只有零点矢量的相角，所以 $\varphi(\omega)=\pi/2$ 。

b) 当 $0 < \omega < \Omega_0$ ，随着 $\omega \uparrow$ ，零点矢量的模 \uparrow ，极点矢量的模变化较小，幅频响应 $|H(\omega)| \uparrow$ ；

因为两极点矢量的相角正的增加，负的减小，总体增加，而零点矢量的相角恒等于 $\pi/2$ ，所以相频响应 $\varphi(\omega) \downarrow$ 。



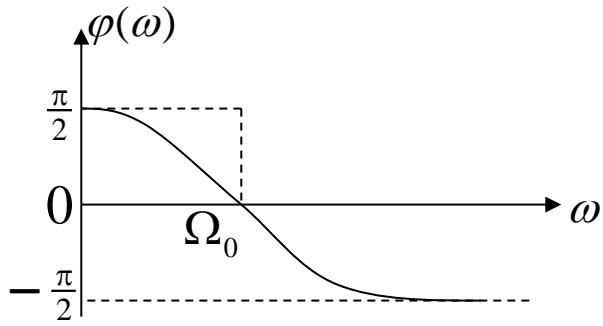
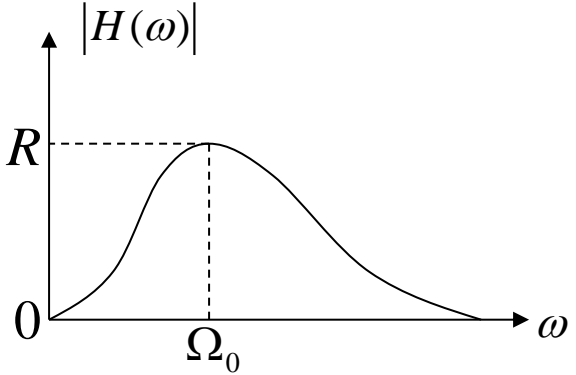
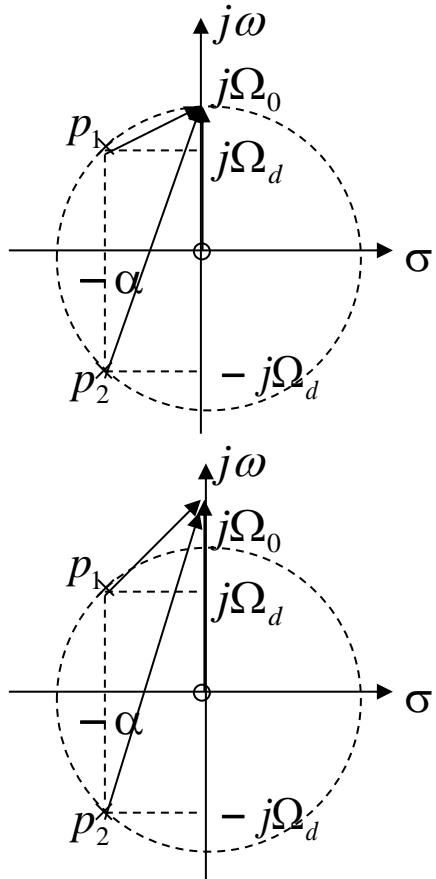
4.9 二阶谐振系统的S平面分析

c) 当 $\omega=\Omega_0$ （谐振），零点矢量的模为 Ω_0 ，可证明此时幅频响应是极大值；两极点矢量的相角之和为 $\pi/2$ ，相频响应 $\varphi(\omega)=0$ 。

$$|H(\Omega_0)| = \frac{1}{C} \frac{\Omega_0}{|P_1||P_2|} = \frac{1}{C} \frac{1}{2\alpha} = R$$

d) 当 $\omega > \Omega_0$ 且继续增加，两极点矢量的模均增加，零点矢量的模也增加，幅频响应减小；相频响应因为两极点矢量的相角均正向增加而 $\varphi(\omega) < 0 \downarrow$ 。

e) 当 $\omega \rightarrow \infty$ ，两极点矢量的模与零点矢量的模均 $\rightarrow \infty$ ，幅频响应 $|H(\omega)| \rightarrow 0$ ；相频响应 $\varphi(\omega)$ 因为两极点矢量的幅角均趋于 $\pi/2$ 而趋于 $-\pi/2$ 。



当系统函数有一对靠近虚轴的极点 $p = \alpha_i \pm j\Omega_i$ ($\alpha_i \ll \Omega_0$), $\Omega_i \approx \Omega_0$, 系统的幅频响应在 $\omega = \Omega_i$ 附近会有一个峰值点 (谐振), 相频响应负向变化;

当系统函数有一对靠近虚轴的零点 $z = \alpha_j \pm j\Omega_j$ ($\alpha_j \ll \Omega_0$), 系统的幅频响应在 $\omega = \Omega_j$ 附近会有一个谷值点, 相频响应正向变化。

若系统函数有远离虚轴的零点和极点, 那它们对系统的频响曲线的形状影响较小, 只是对总的幅频响应与相频响应的大小有所影响。

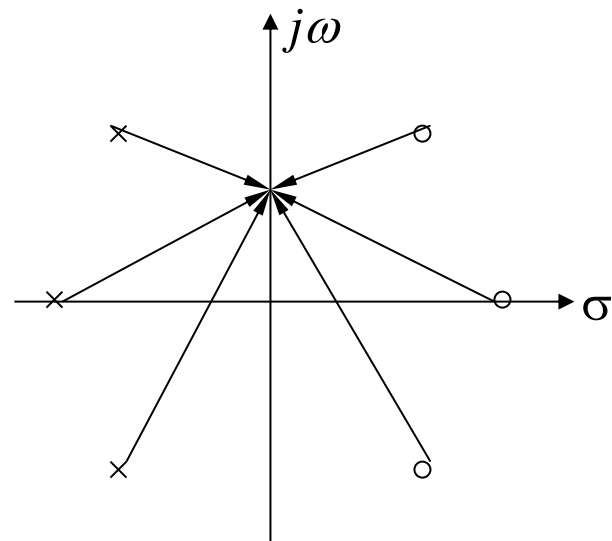
4.10.1 全通系统的零极点分布

全通系统的幅频响应在所有频率上均为一常数。

全通系统的相频响应没有受到限制，会改变输入信号的相频特性，可以在传输系统中作相位均衡器或移相器。

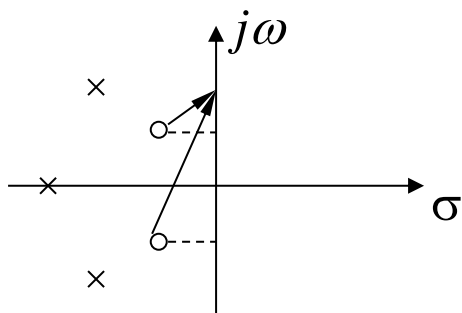
全通系统函数的零点矢量的模之积与极点矢量的模之积，在所有频率上均相等。要做到这一点，零点与极点应该以虚轴为镜像对称分布。

$$|H(j\omega)| = \frac{G \prod_{k=1}^N B_k}{\prod_{k=1}^N A_k} = G$$

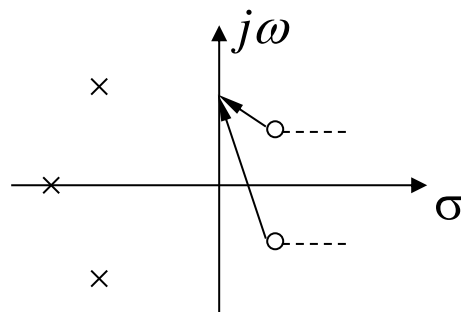


4.10.2 最小相移系统的零极点分布

最小相移系统：系统函数的零点均分布在 s 平面的左半平面或虚轴上。若有一个或多个零点分布在右半平面，就是非最小相移系统。



最小相移系统零极图

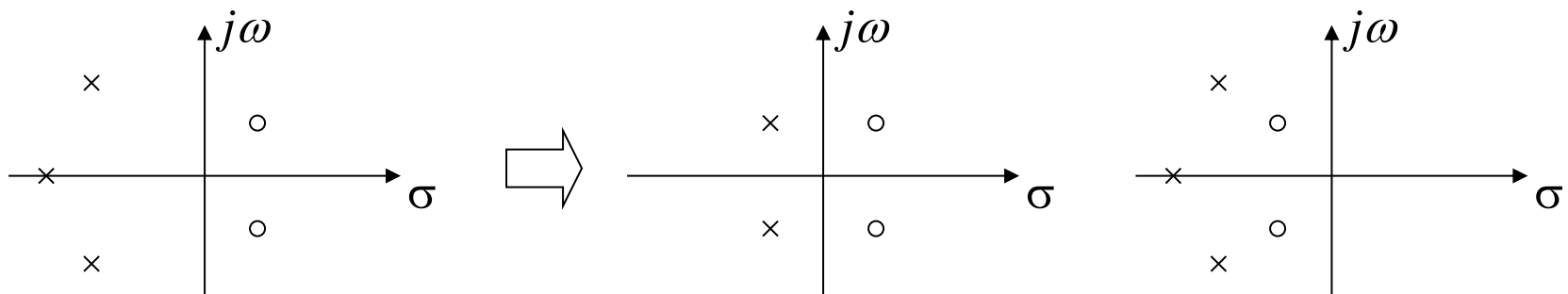
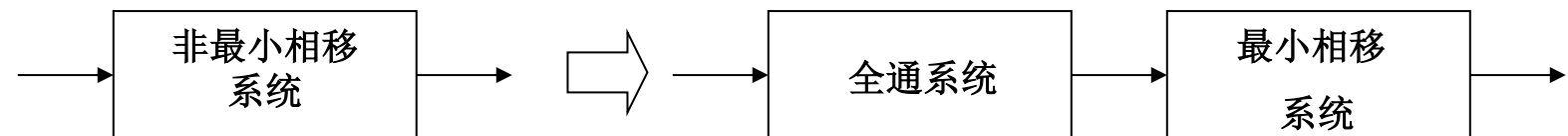


非最小相移系统零极图

比较以上两零极图，极点分布相同，零点的虚部相等，实部符号相反。显然，**两图幅频响应相同**；对于所有的频率上，左图中零点的相角均小于右图中零点的相角，而两图中极点的相角相同，所以就相移的绝对值而言，**左图的相移更小**。

任何一个非最小相移系统均可表示为**一全通系统与一最小相移系统的级联**。

$$H(s) = H_{AP}(s) \cdot H_{\min}(s)$$



全通系统的**极点**
和最小相移系统的**零点相消**

例如：

$$H(s) = \frac{(s - \alpha_2)^2 + \Omega_2^2}{(s + \alpha_0)[(s + \alpha_1)^2 + \Omega_1^2]} = \frac{(s + \alpha_2)^2 + \Omega_2^2}{(s + \alpha_0)[(s + \alpha_1)^2 + \Omega_1^2]} \cdot \frac{(s - \alpha_2)^2 + \Omega_2^2}{(s + \alpha_2)^2 + \Omega_2^2}$$

$$H_{AP}(s) = \frac{(s - \alpha_2)^2 + \Omega_2^2}{(s + \alpha_2)^2 + \Omega_2^2} \quad H_{\min}(s) = \frac{(s + \alpha_2)^2 + \Omega_2^2}{(s + \alpha_0)[(s + \alpha_1)^2 + \Omega_1^2]}$$

4.11.1 系统的因果性与稳定性

系统的**稳定性**指**幅度有限的输入**只能产生**幅度有限的输出**的系统，即当输入 $|x(\cdot)| < \infty$ ，输出 $|y(\cdot)| < \infty$ ，系统必定是稳定的。即**输出不能包含冲激函数及其导数**。

线性时不变系统的稳定性指单位冲激响应满足绝对可积，即

$$\int_{-\infty}^{\infty} |h(t)| dt < \infty$$

系统的**因果性**指在初始状态为零时，输出不会发生在输入作用于系统之前，即当 $t < t_0$ ， $x(t)=0$ ，必定有 $t < t_0$ ， $y(t)=0$ 。

线性系统的因果性指其单位冲激响应满足（充要条件）：

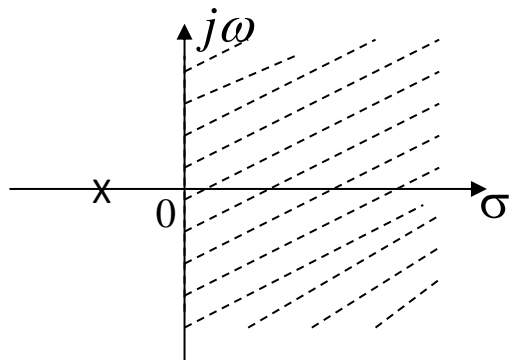
$$h(t) = h(t)u(t)$$

当系统是**因果稳定**的，其单位冲激响应应该满足在 0^- 到 ∞ 绝对可积：

$$\int_{0^-}^{\infty} |h(t)| dt < \infty \quad (1)$$

$$\text{因为 } H(s) = \int_{0^-}^{\infty} h(t) e^{-st} dt = \int_{0^-}^{\infty} h(t) e^{-(\sigma + j\omega)t} dt \quad (2)$$

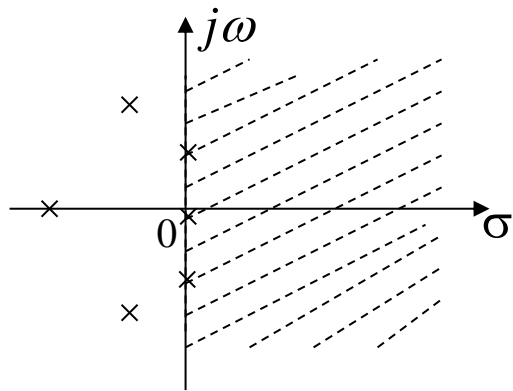
$$\text{若使 (2) 绝对可积, } \int_{0^-}^{\infty} |h(t) e^{-\sigma t}| dt < \infty \quad (3)$$
$$\left(|e^{-j\omega t}| = 1 \right)$$



比较 (1) 和 (3) 可知，线性因果稳定系统的系统函数的最小收敛域是 $\sigma = \text{Re}\{s\} > 0$ 。也即，**因果稳定系统的系统函数的极点只能分布在s平面虚轴的左半平面上。**

如果系统函数的极点分布在s平面虚轴上呢？

例如原点上一阶极点，对应的因式是 $\frac{1}{s}$ ，逆变换是单位阶跃信号 $u(t)$ ，不满足绝对可积。但其在 $t>0$ 时，稳定不变。



例如虚轴上的一对共轭极点，对应的因式是 $\frac{\Omega_0}{s^2 + \Omega_0^2}$ 或 $\frac{s}{s^2 + \Omega_0^2}$ 的形式，对应的逆变换是等幅的正余弦信号，也不满足绝对可积。但是在 $t>0$ 时，其最大幅度稳定不变。

如果在虚轴上的极点是多重的，对应的时间信号将不满足绝对可积，且在 $t>0$ 时，其幅度是逐渐增加的。

显然，虚轴上的极点无论是单阶还是多阶的，都使系统不稳定。也有称虚轴上一阶极点的情况为临界稳定的。

一个稳定系统的系统函数对零点的个数也有要求。

设系统函数为：

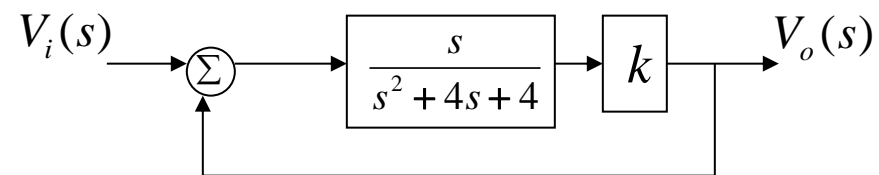
$$H(s) = \frac{N(s)}{D(s)} = s + \frac{A(s)}{D(s)}$$

$A(s)/D(s)$ 是有理真分式。当输入一有界的 $x(t)=u(t)$ ，拉氏变换为 $1/s$ ，输出的拉氏变换中就会出现1，对应的输出中会出现冲激函数 $\delta(t)$ ，幅度无界。可见以上系统是不稳定的。 $h(t)$ 可以包含冲激函数，但不能包含冲激函数的导数。

综上，从s域判断线性系统的稳定条件应该是：

- (1) 系统函数的极点均应分布在s平面虚轴的左半平面上；即系统函数分母多项式的根如果是实数，则应该是负实数；如果是复数，则应具有负实部。
- (2) 系统函数的分子多项式的阶次不应高于分母多项式的阶次（零点个数不应多于极点个数）。

如下图所示一反馈系统， k 满足什么条件时系统稳定？

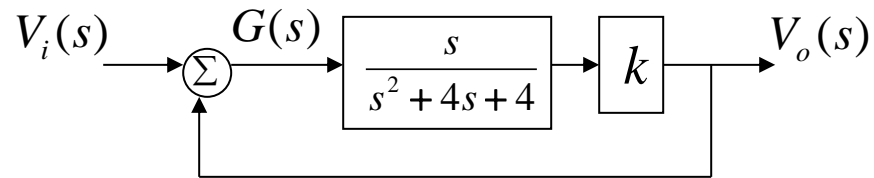


- ☐ A $k > 4$
- ☐ B $k > -4$
- ☒ C $k < 4$
- ☐ D $k < -4$

提交

例4-38: 下图示一反馈系统，（1）求系统函数。（2） k 满足什么条件时系统稳定？（3）在临界稳定时，求系统的单位冲激响应。

解: （1） $G(s) = V_i(s) + V_o(s)$



$$V_o(s) = \frac{ksG(s)}{s^2 + 4s + 4}$$

$$\therefore H(s) = \frac{V_o(s)}{V_i(s)} = \frac{ks}{s^2 + (4-k)s + 4}$$

$$(2) \text{ 系统函数的极点: } p_{1,2} = \frac{-(4-k) \pm \sqrt{(4-k)^2 - 16}}{2}$$

当 $k > 4$ ，系统函数有正实部的极点，系统不稳定。

因此，应满足 $k < 4$ 时系统稳定。

$$(3) \text{ 当 } k=4 \text{ 时, 系统函数为 } H(s) = \frac{4s}{s^2 + 4} \quad \therefore h(t) = 4 \cos 2t u(t)$$

如何判断一个多项式的根是否都是负实部的？

当多项式是一阶或二阶的，可按以下条件判断它的根都是负实部的：

- (1) 分母多项式中各次系数都不为0，即不缺项；
- (2) 分母多项式中各次系数的符号相同。当最高阶系数为1时，其他系数应均为正。

按以上条件，可立即得出上例的稳定条件：

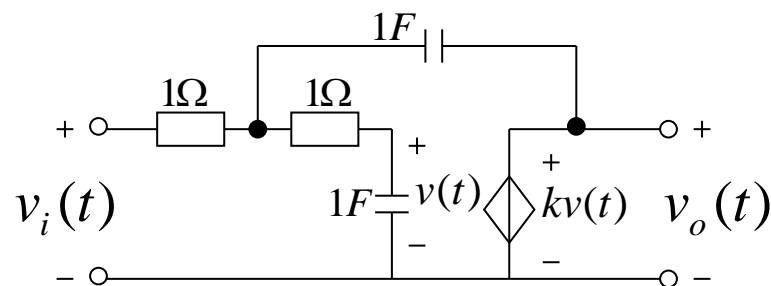
$$H(s) = \frac{ks}{s^2 + (4-k)s + 4} \quad 4-k > 0 \quad \therefore k < 4$$

系统函数当分母多项式的阶次较高时，其极点的求解就比较困难，此时按以上条件判断还不充分。有关的条件，如：罗斯-霍尔维兹判据，可参考其他书籍。

例4-39：带反馈的受控源电路如图，求系统函数 $H(s)=V_o(s)/V_i(s)$ ；求系统稳定时的 k 的取值范围；求当系统处于临界稳定时的单位冲激响应 $h(t)$ 。

解：画出s域等效电路，引入中间变量 $V_1(s)$ 。

$$V_1(s) = \frac{V(s)}{1/s} \left(1 + 1/s\right) = (s+1)V(s) = \frac{(s+1)V_o(s)}{k}$$

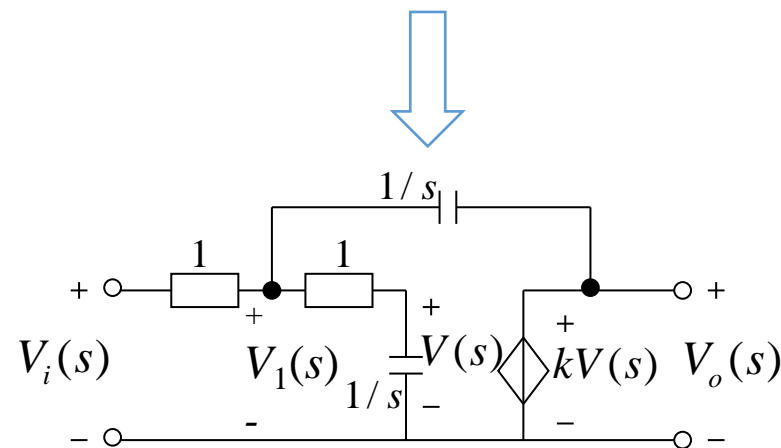


利用节点电流定律，

$$\frac{V_i(s) - V_1(s)}{1} = \frac{V_1(s)}{1 + 1/s} + \frac{V_1(s) - V_o(s)}{1/s}$$

$$V_i(s) = \frac{s^2 + 3s + 1}{s + 1} V_1(s) - s V_o(s)$$

$$= \left(\frac{s^2 + 3s + 1}{k} - s \right) V_o(s) = \frac{s^2 + (3 - k)s + 1}{k} V_o(s)$$



系统函数: $H(s) = \frac{V_o(s)}{V_i(s)} = \frac{k}{s^2 + (3-k)s + 1}$

当系统稳定时, 系统函数分母多项式的系数均应大于零, 即

$$3 - k > 0 \quad \therefore k < 3$$

系统临界稳定时 $k=3$, 此时系统函数

$$H(s) = \frac{3}{s^2 + 1} \quad \therefore \quad h(t) = 3 \sin t u(t)$$

线性稳定系统的瞬态响应与稳态响应

- **瞬态响应**：在激励（**阶跃信号或有始周期信号**）作用下，全响应中瞬时出现的成分，随时间增长逐渐消失。
- **稳态响应**： $t \rightarrow \infty$ 时，全响应中保留的分量，通常由**阶跃函数、周期函数**组成。
- 稳定系统的**系统函数极点位于s平面的左半平面**，自由响应函数呈衰减趋势，**自由响应=瞬态响应**。
- 若**激励的极点位于s平面的虚轴上或右半平面**，**强迫响应=稳态响应**。

例：激励信号 $x(t)=\cos(2t)u(t)$ ，系统函数的极点为-6和-1，响应为

$$r(t) = \underbrace{-\frac{6}{25}e^{-t} + \frac{9}{50}e^{-6t}}_{\substack{\text{自由响应} \\ \text{瞬态响应}}} + \underbrace{\frac{21}{50}\sin(2t) + \frac{3}{50}\cos(2t)}_{\substack{\text{强迫响应} \\ \text{稳态响应}}} \quad (t \geq 0)$$

本次课内容

4.12 双边拉普拉斯变换

4.13 拉普拉斯变换与傅里叶变换的关系

本次课目标

1. 熟悉双边拉氏变换的收敛域与原函数的对应关系；
2. 了解拉氏变换与傅里叶变换的对应关系。

- 4.1 引言
- 4.2 拉普拉斯变换的定义、收敛域
- 4.3 拉普拉斯变换的基本性质
- 4.4 拉普拉斯逆变换
- 4.5 用拉普拉斯逆变换法分析电路、S域原件模型
- 4.6 系统函数（网络函数）
- 4.7 由系统函数零、极点分布决定时域特性
- 4.8 由系统函数零、极点分布决定频响特性
- 4.9 二阶谐振系统的S平面分析
- 4.10 全通函数与最小相移函数的零、极点分布
- 4.11 线性系统稳定性
- 4.12 双边拉普拉斯变换
- 4.13 拉普拉斯变换与傅里叶变换的关系

双边拉普拉斯变换（**广义傅里叶变换**）：

$$F_B(s) = \int_{-\infty}^{\infty} f(t)e^{-st} dt = \int_{-\infty}^{\infty} f(t)e^{-\sigma t} e^{-j\omega t} dt$$

对于衰减因子 σ ， $t>0$ 时的情况与 $t<0$ 时的情况正好相反，因此**双边拉氏变换积分结果不一定存在**，这与单边拉氏变换不同。要讨论双边拉氏变换的存在性问题。

4.12.1 双边拉氏变换的收敛域

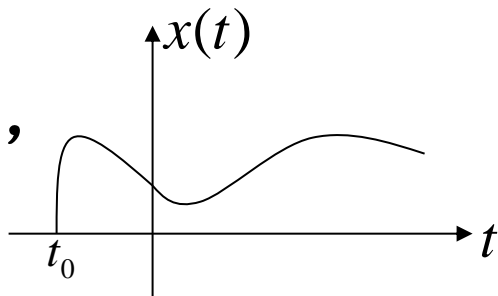
信号拉氏变换的收敛域与信号本身的形态有关，根据拉氏变换的定义，一般信号拉氏变换的存在应满足条件：

$$\lim_{t \rightarrow \infty} x(t)e^{-\sigma t} = 0 \quad \& \quad \lim_{t \rightarrow -\infty} x(t)e^{-\sigma t} = 0$$

4.12.1 右边信号的双边拉氏变换

当信号是一右边信号，即 $t < t_0$ 时， $x(t) = 0$ （因果信号是右边信号），

其拉氏变换：
$$X(s) = \int_{t_0}^{\infty} x(t) e^{-st} dt = \int_{t_0}^{\infty} x(t) e^{-\sigma t} e^{-j\omega t} dt$$



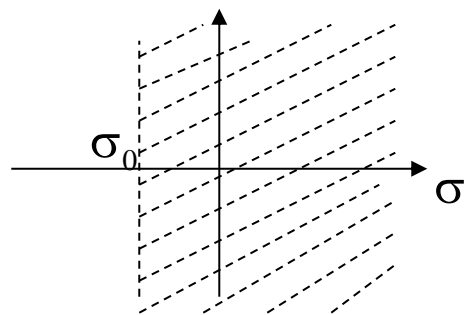
如果 σ_0 使上式满足绝对可积，即
$$\int_{t_0}^{\infty} |x(t) e^{-\sigma_0 t} e^{-j\omega t}| dt = \int_{t_0}^{\infty} |x(t) e^{-\sigma_0 t}| dt < \infty$$

令 $\sigma = \sigma_0 + \Delta$ ，已知 $\lim_{t \rightarrow \infty} x(t) e^{-\sigma_0 t} = 0$ 。

若使 $x(t) e^{-\sigma t}$ 绝对可积，

即 $\lim_{t \rightarrow \infty} x(t) e^{-\sigma t} = \lim_{t \rightarrow \infty} x(t) e^{-\sigma_0 t} e^{-\Delta t} = 0$ ，需满足 $\Delta > 0$ ，即 $\sigma > \sigma_0$ 。

所以收敛域为 $\text{Re}\{s\} = \sigma > \sigma_0$



已知信号 $x(t) = e^{-t}u(t) - e^{-2t}u(t)$ ，其双边拉氏变换及收敛域为（ ）

☐ A $X(s) = \frac{-1}{(s-1)(s-2)}, \sigma > -2$

☒ B $X(s) = \frac{1}{(s+1)(s+2)}, \sigma > -1$

☐ C $X(s) = \frac{-1}{(s-1)(s-2)}, \sigma > -1$

☐ D $X(s) = \frac{1}{(s+1)(s+2)}, \sigma > -2$

提交

例4-40: 求以下因果信号的双边拉氏变换, 并指出其收敛域。

$$x(t) = e^{-t}u(t) - e^{-2t}u(t)$$

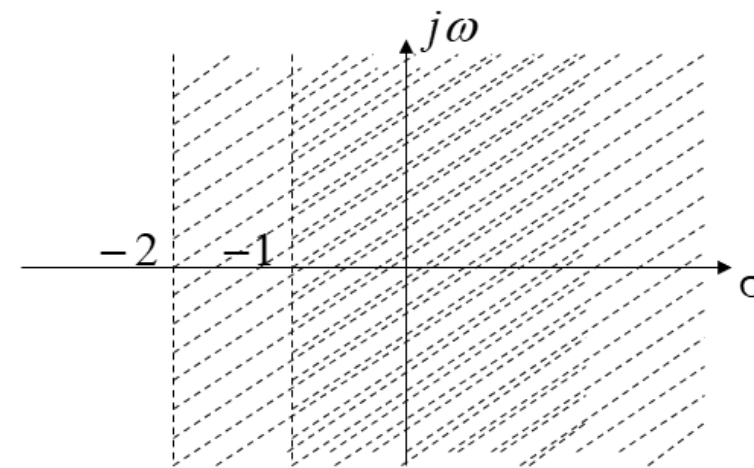
$$\begin{aligned}\text{解: } X(s) &= \int_{-\infty}^{\infty} x(t)e^{-st} dt = \int_0^{\infty} e^{-t}e^{-st} dt - \int_0^{\infty} e^{-2t}e^{-st} dt \\ &= \int_0^{\infty} e^{-(s+1)t} dt - \int_0^{\infty} e^{-(s+2)t} dt = \int_0^{\infty} e^{-(\sigma+1)t} e^{-j\omega t} dt - \int_0^{\infty} e^{-(\sigma+2)t} e^{-j\omega t} dt\end{aligned}$$

前一项当 $\text{Re}\{s+1\}=\sigma+1>0$ 时, 积分可积

$$\frac{1}{s+1} \quad \text{收敛域为 } \text{Re}\{s\} = \sigma > -1$$

后一项当 $\text{Re}\{s+2\}=\sigma+2>0$ 时, 积分可积

$$\frac{1}{s+2} \quad \text{收敛域为 } \text{Re}\{s\} = \sigma > -2$$

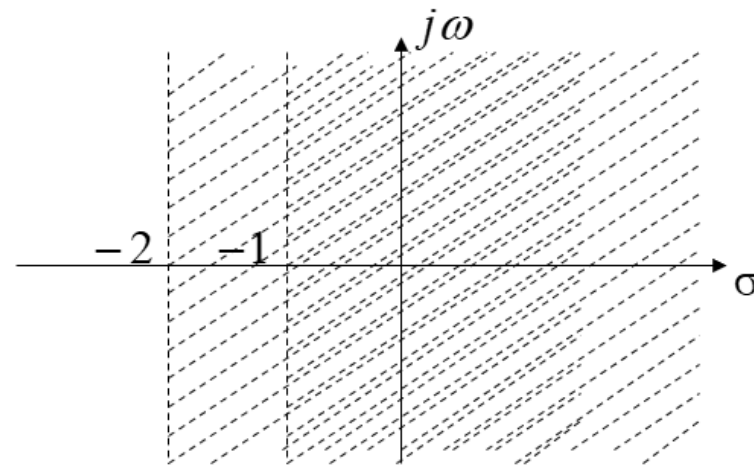


于是，整个函数的拉氏变换为：

$$X(s) = \frac{1}{s+1} - \frac{1}{s+2} = \frac{1}{(s+1)(s+2)}$$

收敛域为 $\text{Re}\{s\} = \sigma > -1$

即信号拉氏变换的收敛域为两部分收敛域的公共区域。右边信号的收敛域在最右边极点的右侧。

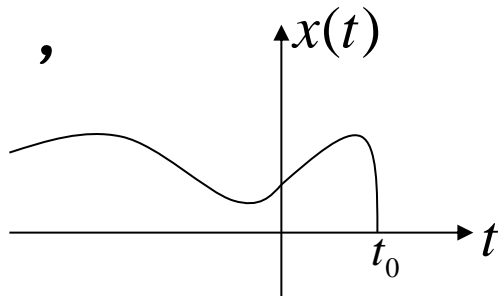


4.12.2 左边信号（反因果信号）的双边拉氏变换

当信号是一左边信号，即 $t > t_0$ 时， $x(t) = 0$ （ $t_0 = 0$ 时为反因果信号），

其拉氏变换为：

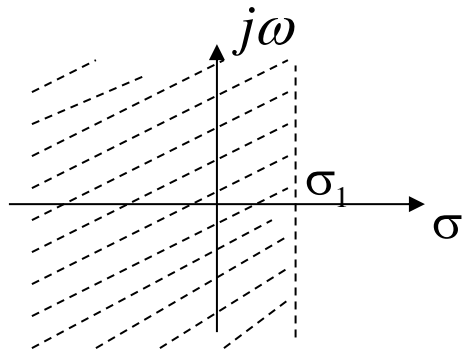
$$X(s) = \int_{-\infty}^{t_0} x(t) e^{-st} dt = \int_{-\infty}^{t_0} x(t) e^{-\sigma t} e^{-j\omega t} dt$$



如果 σ_1 使上式满足绝对可积，即

$$X(s) = X(\sigma_1 + j\omega) = \int_{-\infty}^{t_0} x(t) e^{-\sigma_1 t} e^{-j\omega t} dt$$

存在，则收敛域为 $\text{Re}\{s\} = \sigma < \sigma_1$



证明：令 $\sigma = \sigma_1 + \Delta$ ，已知 $\lim_{t \rightarrow -\infty} x(t) e^{-\sigma_1 t} = 0$ 。若使 $x(t) e^{-\sigma t}$ 绝对可积，

$$\text{即 } \lim_{t \rightarrow -\infty} x(t) e^{-\sigma t} = \lim_{t \rightarrow -\infty} x(t) e^{-\sigma_1 t} e^{-\Delta t} = 0, \text{ 需满足 } \Delta < 0, \text{ 即 } \sigma < \sigma_1.$$

例4-41: 已知反因果信号 $x(t) = -e^{-\alpha t}u(-t)$, 求其双边拉氏变换 $X(s)$ 。

解: 由定义

$$\begin{aligned} X(s) &= \int_{-\infty}^{\infty} x(t)e^{-st} dt = - \int_{-\infty}^{\infty} e^{-\alpha t} u(-t) e^{-st} dt = - \int_{-\infty}^0 e^{-\alpha t} e^{-st} dt \\ &= - \int_{-\infty}^0 e^{-(s+\alpha)t} dt \end{aligned}$$

当 $\text{Re}\{s+\alpha\} = \sigma + \alpha < 0$, $\sigma < -\alpha$, 以上积分才可积。

$$X(s) = \frac{1}{(s+\alpha)} e^{-(s+\alpha)t} \Big|_{-\infty}^0 = \frac{1}{(s+\alpha)}, \quad \sigma < -\alpha$$

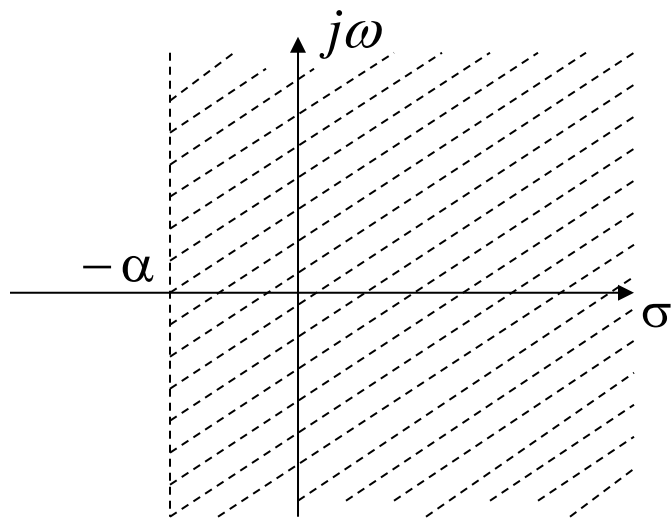
所以

$$-e^{-\alpha t}u(-t) \xleftrightarrow{LT} 1/(s+\alpha), \operatorname{Re}\{s\} < -\alpha$$

而例4-1求得

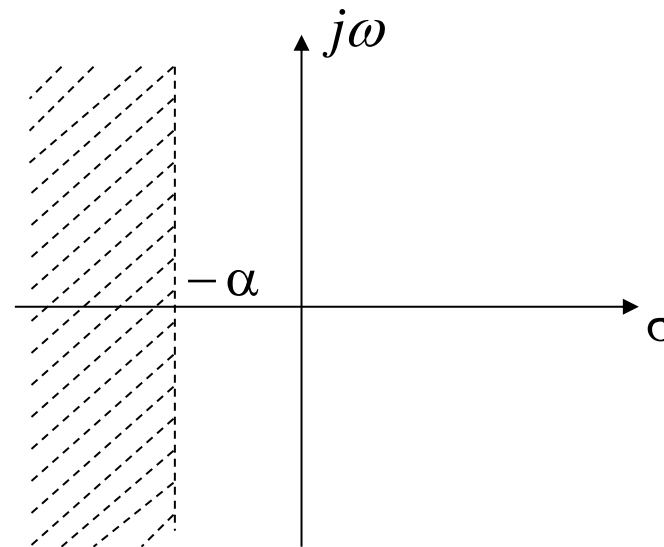
$$e^{-\alpha t}u(t) \xleftrightarrow{LT} 1/(s+\alpha), \operatorname{Re}\{s\} > -\alpha$$

相同的双边拉氏变换式，因为收敛域不同，表示不同的时间信号。因此，在由双边拉氏变换表示其原信号时，必须给定它的收敛域，否则不能确定原信号。



$e^{-\alpha t}u(t)$ 双边拉氏变换

收敛域 $\sigma > -\alpha$



$-e^{-\alpha t}u(-t)$ 双边拉氏变换

收敛域 $\sigma < -\alpha$

以上两信号的双边拉氏变换收敛域，均是在s平面上的半个开平面。

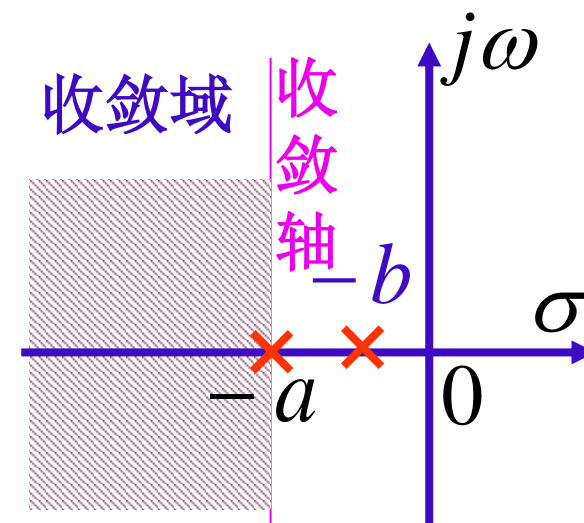
$-\alpha$ 称为它们的收敛坐标， $\sigma = \text{Re}\{s\} = -\alpha$ 称为它们的收敛轴或收敛域边界。

若信号为: $f(t) = (e^{-at} + e^{-bt})u(-t)$ ($a > b > 0$)

象函数为: $F(s) = \frac{-1}{s+a} + \frac{-1}{s+b}$ ($\sigma < -a$)

左边信号的收敛域在最左边极点的左侧。

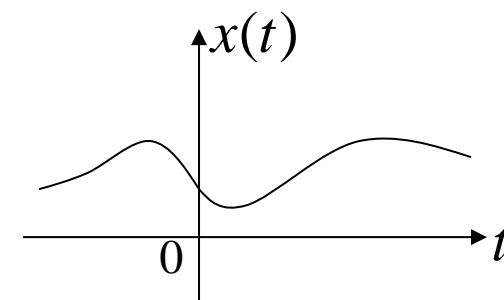
象函数的极点全部位于收敛域右侧。



4.12.3 双边信号的双边拉氏变换

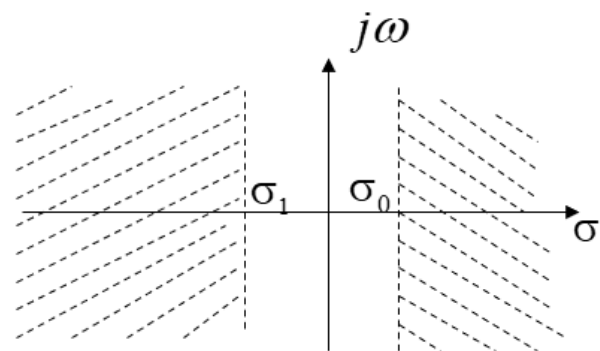
当信号是一双边信号，其双边拉氏变换为：

$$X(s) = \int_{-\infty}^{\infty} x(t)e^{-st} dt = \int_{-\infty}^0 x(t)e^{-\sigma t} e^{-j\omega t} dt + \int_0^{\infty} x(t)e^{-\sigma t} e^{-j\omega t} dt$$

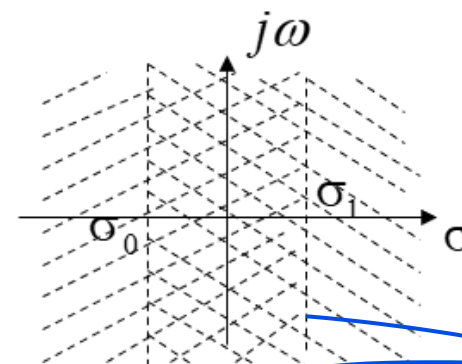


如果 σ_1 使上式第一项满足绝对可积， σ_0 使上式第二项满足绝对可积，即

$$X(s) = \int_{-\infty}^0 x(t)e^{-\sigma_1 t} e^{-j\omega t} dt + \int_0^{\infty} x(t)e^{-\sigma_0 t} e^{-j\omega t} dt$$



若 $\sigma_0 > \sigma_1$ ， $X(s)$ 不存在



若 $\sigma_0 < \sigma_1$ ， $X(s)$ 存在，
收敛域为 $\sigma_0 < \sigma < \sigma_1$



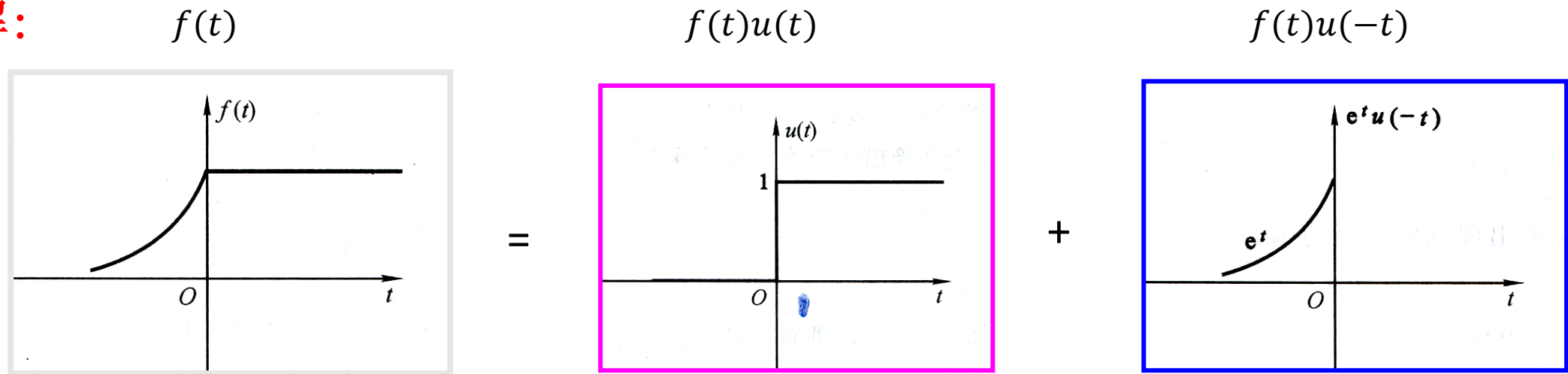
已知 $f(t) = u(t) + e^t u(-t)$ ，其双边拉氏变换为（ ）

- ☐ A $F(s) = \frac{1}{s} - \frac{1}{s-1}$, $\sigma > 0$
- ☐ B $F(s) = \frac{1}{s} + \frac{1}{s+1}$, $0 < \sigma < 1$
- ☒ C $F(s) = \frac{1}{s} - \frac{1}{s-1}$, $0 < \sigma < 1$
- ☐ D $F(s) = \frac{1}{s} + \frac{1}{s+1}$, $\sigma > -1$

提交

例4-42: 已知 $f(t) = u(t) + e^t u(-t)$, 试求其双边拉氏变换。

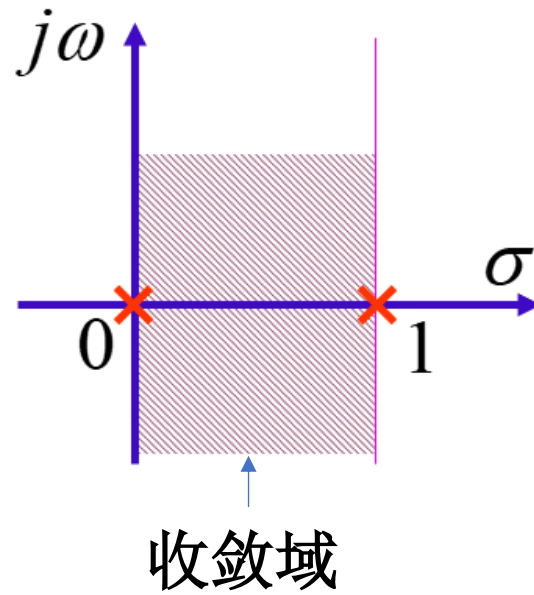
解:



$$F(s) = \int_{-\infty}^{\infty} f(t) e^{-st} dt = \int_{-\infty}^0 e^t e^{-st} dt + \int_0^{\infty} e^{-st} dt = \int_{-\infty}^0 e^{(1-\sigma)t} e^{-j\omega t} dt + \int_0^{\infty} e^{-\sigma t} e^{-j\omega t} dt$$

为使上式两项满足绝对可积, 应有 $1 - \sigma > 0, \sigma > 0$, 故可得 $0 < \sigma < 1$ 。

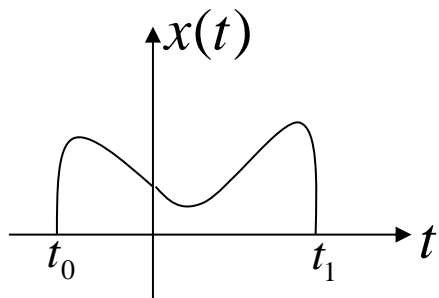
$$F(s) = \frac{1}{s} + \frac{1}{1-s} \quad (0 < \sigma < 1)$$



4.12.4 时限信号的双边拉氏变换

当信号是一时限信号，即 $t_0 > t > t_1$ ， $x(t)=0$ ，其拉氏变换：

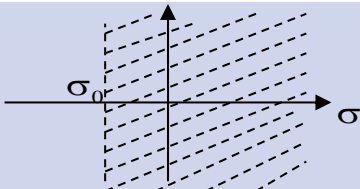
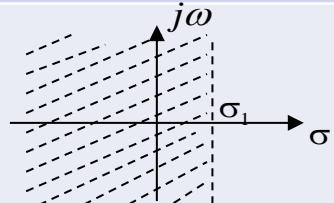
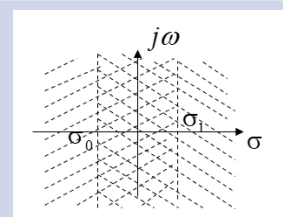
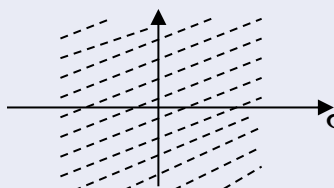
$$X(s) = \int_{-\infty}^{\infty} x(t)e^{-st} dt = \int_{t_0}^{t_1} x(t)e^{-st} dt = \int_{t_0}^{t_1} x(t)e^{-\sigma t} e^{-j\omega t} dt$$



此时，若 $x(t)$ 是绝对可积的， $x(t)e^{-\sigma t}$ 总是满足绝对可积的，所以其双边拉氏变换在整个 s 平面上均存在，即收敛域是 s 全平面。

4.12.5 双边拉氏变换收敛域的特点

双边拉氏变换要考虑收敛域的存在性，**必须注明收敛域**。

信号类别	双边拉氏变换的收敛域	
右边信号	象函数 最右边极点的右侧	
左边信号	象函数 最左边极点的左侧	
双边信号	两个极点之间的 带状区域 (若双边拉氏变换存在)	
时限信号	s全平面	

同样的象函数若收敛域不同，对应的原信号也不同。

$F(s)$	收敛域	$f(t)$
$1/s$	$\sigma > 0$	$u(t)$
$1/s$	$\sigma < 0$	$-u(-t)$
$1/(s+\alpha)$	$\sigma > -\alpha$	$e^{-\alpha t} u(t)$
$1/(s+\alpha)$	$\sigma < -\alpha$	$-e^{-\alpha t} u(-t)$

例:
$$F(s) = \frac{1}{s} + \frac{1}{s+\alpha} \quad (\alpha > 0)$$

$$\sigma > 0$$

$$f(t) = u(t) + e^{-\alpha t} u(t)$$

$$-\alpha < \sigma < 0$$

$$f(t) = -u(-t) + e^{-\alpha t} u(t)$$

$$\sigma < -\alpha$$

$$f(t) = -u(-t) - e^{-\alpha t} u(-t)$$

4.12.5 双边拉氏逆变换

可以根据收敛域和极点的情况来求解：

- (1) 对象函数进行部分分式展开；
- (2) 根据极点的情况对象函数取逆变换；
- (3) 收敛域左边的极点对应右边信号，收敛域右边极点对应左边信号。

例4-43: 已知 $F(s) = \frac{2s+3}{s(s+2)(s+3)}$ ，求其所有可能的双边拉氏逆变换。

解:
$$F(s) = \frac{2s+3}{s(s+2)(s+3)} = \frac{1}{2s} + \frac{1}{2(s+2)} - \frac{1}{s+3}$$

根据象函数极点的情况，它的收敛域有**四种可能的情况**，不同的收敛域取逆变换得到不同的时域形式。

$$\sigma > 0 \quad f(t) = \left(\frac{1}{2} + \frac{1}{2}e^{-2t} - e^{-3t} \right) u(t)$$

$$-2 < \sigma < 0 \quad f(t) = -\frac{1}{2}u(-t) + \left(\frac{1}{2}e^{-2t} - e^{-3t} \right) u(t)$$

$$-3 < \sigma < -2 \quad f(t) = -\frac{1}{2}(1 + e^{-2t})u(-t) - e^{-3t}u(t)$$

$$\sigma < -3 \quad f(t) = -\left(\frac{1}{2} + \frac{1}{2}e^{-2t} - e^{-3t} \right) u(-t)$$

- 4.1 引言
- 4.2 拉普拉斯变换的定义、收敛域
- 4.3 拉普拉斯变换的基本性质
- 4.4 拉普拉斯逆变换
- 4.5 用拉普拉斯逆变换法分析电路、S域原件模型
- 4.6 系统函数（网络函数）
- 4.7 由系统函数零、极点分布决定时域特性
- 4.8 由系统函数零、极点分布决定频响特性
- 4.9 二阶谐振系统的S平面分析
- 4.10 全通函数与最小相移函数的零、极点分布
- 4.11 线性系统稳定性
- 4.12 双边拉普拉斯变换
- 4.13 拉普拉斯变换与傅里叶变换的关系

拉普拉斯变换是傅里叶变换由实频率 ω 至复频率 $s=\sigma+j\omega$ 上的推广，傅里叶变换是拉普拉斯变换在 s 平面虚轴上的特例。

$$X(s) = \mathcal{L}\{x(t)\} = \mathcal{F}\{x(t)e^{-\sigma t}\} = X(\sigma + j\omega)$$

许多信号，将其傅里叶变换式中的 $j\omega$ 换成 s 就是它的拉普拉斯变换，反之亦然。例如单边指数衰减信号：

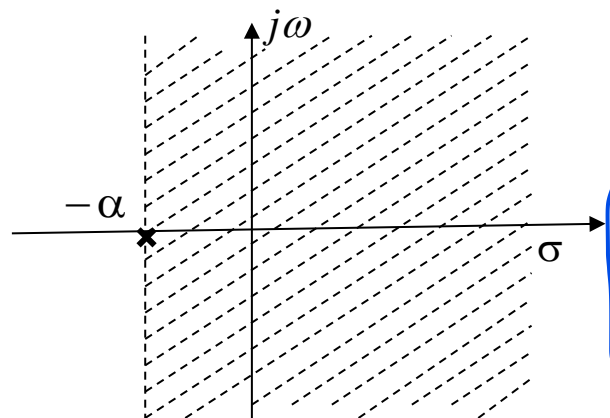
$$e^{-\alpha t}u(t) \xleftrightarrow{FT} \frac{1}{j\omega + \alpha} \quad \therefore e^{-\alpha t}u(t) \xleftrightarrow{LT} \frac{1}{s + \alpha}$$

然而也有**特例**。例如单位阶跃信号：

$$u(t) \xleftrightarrow{FT} \pi\delta(\omega) + \frac{1}{j\omega} \quad u(t) \xleftrightarrow{LT} \frac{1}{s}$$

如果信号的拉氏变换的收敛域包含了虚轴，可将拉氏变换中的 s 代以 $j\omega$ 求得其傅里叶变换。

例如，单边指数衰减的信号极点位于负实轴上。



$e^{-\alpha t} u(t)$ 拉氏变换收敛域

负实轴上的重极点的例子：

$$te^{-\alpha t} u(t) \xleftrightarrow{FT} \frac{1}{(j\omega + \alpha)^2}$$

$$te^{-\alpha t} u(t) \xleftrightarrow{LT} \frac{1}{(s + \alpha)^2}$$

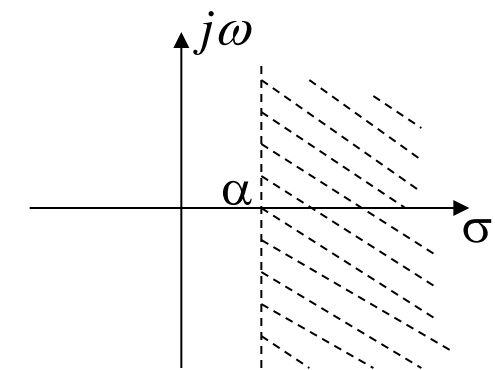
负实部的共轭复数极点的例子：

$$e^{-\alpha t} \cos(\Omega_0 t) u(t) \xleftrightarrow{FT} \frac{j\omega + \alpha}{(j\omega + \alpha)^2 + \Omega_0^2}$$

$$e^{-\alpha t} \cos(\Omega_0 t) u(t) \xleftrightarrow{LT} \frac{s + \alpha}{(s + \alpha)^2 + \Omega_0^2}$$

当拉氏变换收敛域不包含虚轴时，即信号的拉氏变换的极点在s平面上虚轴的右半平面，其傅里叶变换不存在。

例如，单边指数增长的信号，其极点位于正实轴上。



$e^{\alpha t}u(t)$ 的拉氏变换收敛域

$$e^{\alpha t}u(t) \xleftrightarrow{LT} \frac{1}{s - \alpha}$$

由于信号呈指数增长，不满足绝对可积的条件，其傅里叶变换不存在。

当信号的拉氏变换的极点有位于s平面虚轴上的极点，不能简单的将 $j\omega$ 代替 s 以得到其傅里叶变换。例如，单位阶跃信号 $u(t)$ ：

$$u(t) \xleftrightarrow{LT} \frac{1}{s}$$

$$u(t) \xleftrightarrow{FT} \pi\delta(\omega) + \frac{1}{j\omega}$$

设信号 $x(t)$ 的拉氏变换为 $X(s)$ ，它有虚轴上的 N 个单极点 $j\Omega_i$ ，

$$X(s) = X_1(s) + \sum_{i=1}^N \frac{A_i}{s - j\Omega_i}$$

$$x(t) = x_1(t) + \sum_{i=1}^N A_i e^{j\Omega_i t} u(t)$$

极点位于虚轴的左侧

频域卷积定理

$$X(\omega) = X_1(\omega) + \frac{1}{2\pi} \sum_{i=1}^N 2\pi A_i \delta(\omega - \Omega_i) * \left[\frac{1}{j\omega} + \pi\delta(\omega) \right]$$

$$= \underbrace{X_1(\omega) + \sum_{i=1}^N \frac{A_i}{j(\omega - \Omega_i)}}_{X(s)|_{s=j\omega}} + \pi \sum_{i=1}^N A_i \delta(\omega - \Omega_i)$$

对应虚轴上单极点的冲激信号

设信号 $x(t)$ 的拉氏变换 $X(s)$ 有虚轴上的 k 重极点: $j\Omega_0$

$$X(s) = X_1(s) + \frac{A_0}{(s - j\Omega_0)^k}$$

极点位于虚轴的左侧

可以证明，其对应的傅里叶变换为：

$$X(\omega) = X(s)|_{s=j\omega} + \frac{\pi A_0 j^{k-1}}{(k-1)!} \delta^{(k-1)}(\omega - \Omega_0)$$

例如，单位斜变信号

$$\begin{aligned} tu(t) &\xleftrightarrow{LT} \frac{1}{s^2} \\ tu(t) &\xleftrightarrow{FT} -\frac{1}{\omega^2} + j\pi\delta'(\omega) \end{aligned}$$

❖ 单边拉氏变换的应用

单边拉氏变换在系统分析时，我们均设定系统是因果的。单边拉氏变换在系统的瞬态分析、系统函数及其s域分析应用十分普遍。

❖ 系统的复频域分析方法（用拉氏变换求解系统的响应）

分2种情况：


- 给定微分方程

利用拉氏变换的时域微分特性，可分零状态响应和零输入响应求解。

- 给定电路图

1. 去掉系统的激励，将系统的初始条件等效为激励源，画出S域等效电路，可得到零输入响应；
2. 去掉系统的初始条件，保留激励源，画出S域等效电路，可得到零状态响应。

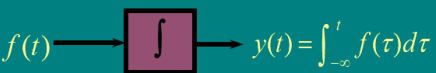
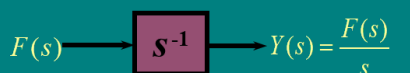
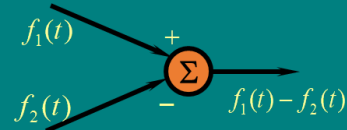
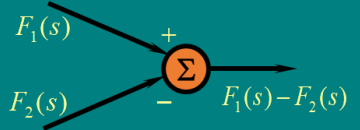
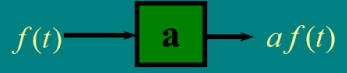
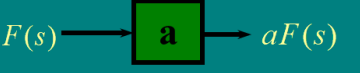
❖ 系统函数 $H(s)$ 的求解方法

1. $H(s) = \mathcal{L}[h(t)]$
2. $H(s)$ = 零状态响应的拉氏变换/激励的拉氏变换
3. 由微分方程求解
4. 由电路图求解
5. 由s域模拟框图求解 
6. 由零、极点图+初始条件求解

❖ 用系统函数 $H(s)$ 分析线性时不变系统

1. $h(t)$ 的时域波形
2. 频响特性 $H(\omega)$ （幅频特性、相频特性）
3. 系统的稳定性判别

模拟框图中的基本单元

	时 域	S 域
积分器		
加法器		
数乘器		

系统函数分析法的局限性

系统函数反映的是系统零状态响应的外特性，不反映系统内部全部特性。

在很多情况之下，难以建立确切的系统函数模型，此分析方法也就失效。
如高阶线性系统求系统函数太烦琐，非线性，时变系统以及模糊现象不能采用系统函数的方法。

解决方法：状态变量分析法（第十二章）

作业

基础题：4-50。

加强题：4-51。